



Hochschule Darmstadt
- Fachbereich Informatik -

Grundlagen der Videokompression

Seminararbeit im Kurs
Wissenschaftliches Arbeiten in der Informatik I

vorgelegt von
Justin Böhm und Matthias Greune

Referentin: <Name>

Ausgabedatum: <Datum>

Abgabedatum: <Datum>

Erklärung

Ich versichere hiermit, dass ich die vorliegende Arbeit selbständig verfasst und keine anderen als die im Literaturverzeichnis angegebenen Quellen benutzt habe. Alle Stellen, die wörtlich oder sinngemäß aus veröffentlichten oder noch nicht veröffentlichten Quellen entnommen sind, sind als solche kenntlich gemacht. Die Zeichnungen oder Abbildungen in dieser Arbeit sind von mir selbst erstellt worden oder mit einem entsprechenden Quellennachweis versehen. Diese Arbeit ist in gleicher oder ähnlicher Form noch bei keiner anderen Prüfungsbehörde eingereicht worden.

<Name>

<Ort>, den 2. Dezember 2016

Erklärung

Abstrakt

Videos sind seit der Entwicklung des Fernsehers zum Massenmedium kaum noch aus dem alltäglichen Leben wegzudenken. Seit dem Aufstieg des Internets als zentrales Kommunikationsmedium haben sich allerdings die Anforderungen an geeignete Speichertechniken von Videos drastisch verändert. Die heutigen Abspielgeräte haben noch immer begrenzten Speicherplatz und sind häufig nur mit schmalbandigen Internetanbindungen ausgestattet. Die Auflösung der Videos ist hingegen stark gestiegen. Um diese Ansprüche zu adressieren wurden Kompressionsalgorithmen entwickelt, die eine effiziente Speicherung speziell für bewegte Bilder ermöglichen. Die resultierenden Probleme aus dieser Art der Speicherung, wie Bildartefakte, sind heutigen Nutzern wohlbekannt. Die eigentliche Funktionsweise von Videokompression bleibt aber oft unbemerkt.

Deshalb möchten wir in dieser wissenschaftlichen Arbeit eine Übersicht über die Grundlagen von Videokompressionsverfahren geben.

Abstrakt

Inhaltsverzeichnis

| | |
|---|------------|
| Erklärung | iii |
| Abstrakt | v |
| Abbildungsverzeichnis | ix |
| 1 Einleitung | 1 |
| 2 Irrelevanzreduktion | 3 |
| 2.1 Chroma Subsampling | 3 |
| 2.2 Diskrete Kosinus Transformation | 5 |
| 2.3 Quantisierung | 6 |
| 3 Redundanzreduktion | 7 |
| 3.1 Entropiecodierung | 7 |
| 3.2 Inter- und Intraprediction | 7 |
| 3.3 Motion Compensation | 7 |
| 4 Ausblick | 9 |
| 5 Zusammenfassung | 11 |
| Literaturverzeichnis | xv |

Abbildungsverzeichnis

| | | |
|-----|--|---|
| 2.1 | Artefakte durch Chroma Subsampling | 4 |
| 2.2 | Gut komprimierbarer 8x8 Pixelblock | 6 |

1 Einleitung

<Text>

1 *Einleitung*

2 Irrelevanzreduktion

Die rohe Aufnahme eines Bildes bietet eine Fülle an Informationen. Mit Blick auf die Eigenschaften des menschlichen Sehsinns lässt sich hierbei allerdings feststellen, dass einige Informationen relevanter für das Erkennen eines Bildes sind, als andere. Die Irrelevanzreduktion beschäftigt sich mit der Trennung und Reduzierung von weniger wichtigen Informationen und bietet damit Methoden zur verlustbehafteten Datenkompression an.

Bei der Videokompression werden im wesentlichen zwei Eigenschaften zur Reduktion von Daten ausgenutzt. Zum einen nimmt das Auge Varianzen in der Helligkeit stärker wahr, als Änderungen im Farbton. Zum Anderen ist das Auge besser in der Lage niedrige Ortsfrequenzen zu erkennen, als hohe - erkennt also grobe Strukturen eher als feinere. Diese Eigenschaften können nun ausgenutzt werden, um einen guten Kompromiss aus akzeptabler Bildqualität und guter Datenreduktion zu finden [Akr14].

2.1 Chroma Subsampling

Das Chroma Subsampling nutzt den Umstand aus, dass Helligkeitsvarianzen besser wahrgenommen werden, als Farbvarianzen. Zumeist liegen die Bildinformationen im Ausgangsformat jedoch im RGB Farbmodell vor, wobei hier die Helligkeitswerte in jeden Kanal eingehen. Um nun aber die Chrominanz bei gleichbleibender Auflösung der Luminanz zu reduzieren benötigen wir eine getrennte Darstellung dieser Informationen. Hierfür wird im MPEG-1 Standard die $YC_B C_R$ Darstellung verwendet, wobei das Y für die Luminanz steht und in C_B und C_R die Farbwerte codiert werden. Die Umrechnung lässt sich mittels folgender Formeln realisieren:

$$Y = 0.299 \cdot R + 0.587 \cdot G + 0.114 \cdot B$$

2 Irrelevanzreduktion

$$U = (B - Y) \cdot 0.493$$

$$V = (R - Y) \cdot 0.877 \text{ [ITUb]}$$

Nun kann das eigentliche Subsampling stattfinden, welches bei MPEG-1 bei einer Auflösung von 4:2:0 realisiert wird. Die erste Zahl gibt hierbei die horizontale Abtastrate des Luma-Wertes an. Die zweite Zahl steht für die horizontale Abtastrate der C_B und C_R Kanäle in Relation zum ersten Wert. Die dritte Zahl gibt die vertikale Samplingrate an, wobei diese entweder 2 oder 0 betragen kann, also entweder kein vertikales Subsampling, oder vertikales Subsampling von 2:1 stattfindet. Für den Fall von 4:2:0 Subsampling bedeutet dies, dass jeweils 2x2 Bildpunkte des C_B und C_R Kanals auf einen Bildpunkt in der Ergebnismenge abgebildet werden. Hiermit wird also die Auflösung des C_B und C_R Kanals halbiert, was zu einer Datenreduktion von 50% führt. [Poy]

Das Chroma Subsampling bietet somit eine enorme Möglichkeit der Kompression, die allerdings nicht verlustfrei abläuft. Artefakte können bei Verwendung dieser Methode vor allem bei scharfen, farbigen Kanten entstehen, wenn diese durch einen gesampleten Block verlaufen. In Abbildung 2.1 ist dieser Sachverhalt dargestellt.

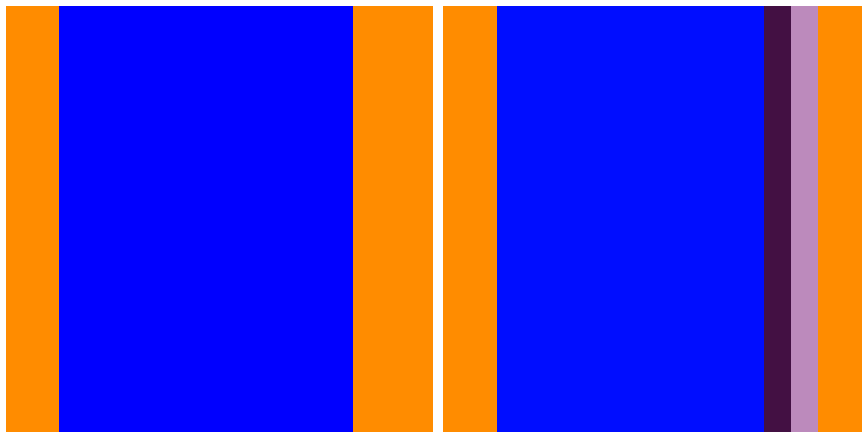


Abbildung 2.1: Artefakte durch Chroma Subsampling

Links: Original, Rechts: Subsampled. Die rechte Kante des blauen Farbblocks liegt in gesubsampten 2x2 Blöcken, wodurch Artefakte entstehen. Die linke Kante liegt zwischen zwei 2x2 Blöcken, weshalb es zu keiner falschen Darstellung kommt.

2.2 Diskrete Kosinus Transformation

Wie bereits oben beschrieben neigt der menschliche Sehsinn dazu niedrige Ortsfrequenzen eher zu erkennen, als höhere. Eine Ortsfrequenz ist definiert als 'Anzahl bestimmter periodischer Erscheinungen bezogen auf einen räumlichen Abstand' (<http://www.otterstedt.de/wiki/index.php/Ortsfrequenz>). Wir erkennen also gröbere Strukturen mit einer niedrigen Ortsfrequenz eher als feinere Strukturen mit einer höheren. Um diesen Umstand nun auszunutzen muss das Ausgangsbild von der räumlichen Ebene auf eine Frequenzebene transformiert werden, damit anschließend, in dem darauf folgenden Schritt der Quantisierung, die höheren Frequenzen reduziert werden können. Diese Transformation lässt sich mittels einer zweidimensionalen Diskreten Kosinus Transformation (DCT) bewerkstelligen.

Die DCT ist eine Sonderform der Foriertransformation, bei der eine Funktion mittels Sinusschwingungen approximiert wird. Dieser Sonderfall nutzt hierbei den Umstand aus, dass das betrachtete Intervall begrenzt ist. Durch eine vertikale Spiegelung dieses Intervalls lassen sich die Sinus Anteile herauskürzen, wobei am Ende lediglich Kosinus Anteile übrig bleiben. Verarbeitet werden mit der DCT immer 8x8 Blöcke eines jeden Kanals mit der Formel:

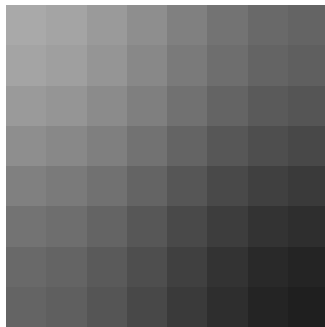
$$F(u, v) = \frac{1}{4} C_u C_v \sum_{x=0}^7 \sum_{y=0}^7 f(x, y) \cos \left(\frac{(2x+1)u\pi}{16} \right) \cos \left(\frac{(2y+1)v\pi}{16} \right)$$

$$\text{wobei } \begin{cases} C_u = \frac{1}{\sqrt{2}} \text{ für } u = 0, \text{ ansonsten } C_u = 1 \\ C_v = \frac{1}{\sqrt{2}} \text{ für } v = 0, \text{ ansonsten } C_v = 1 \end{cases}$$

Die Abbildung 2.2 zeigt das Resultat einer angewandten DCT auf einen schwarz-weißen 8x8 Pixelblock (siehe Anhang ??), welcher aus jeweils einer horizontalen und einer vertikalen Kosinus Schwingung besteht. Der so genannte DC Wert ist der erste Wert der Matrix und gibt die mittlere Helligkeit an. Alle anderen Komponenten beschreiben die relative Abweichung zu diesem Wert und werden gemeinhin als AC Werte betitelt, wobei diese die zum unteren rechten Rand hin höher werdenden Ortsfrequenzen beschreiben. Wie bereits zu erkennen führt die DCT oftmals selbst

2 Irrelevanzreduktion

schon zu einer Matrix mit vielen gleichen Werten, die sich zur Anwendung weiterer verlustfreier Kompressionsmethoden eignen.



| | | | | | | | |
|-----|-----|---|---|---|---|---|---|
| 800 | 200 | 0 | 0 | 0 | 0 | 0 | 0 |
| 200 | 0 | 0 | 0 | 0 | 0 | 0 | 0 |
| 0 | 0 | 0 | 0 | 0 | 0 | 0 | 0 |
| 0 | 0 | 0 | 0 | 0 | 0 | 0 | 0 |
| 0 | 0 | 0 | 0 | 0 | 0 | 0 | 0 |
| 0 | 0 | 0 | 0 | 0 | 0 | 0 | 0 |
| 0 | 0 | 0 | 0 | 0 | 0 | 0 | 0 |
| 0 | 0 | 0 | 0 | 0 | 0 | 0 | 0 |

Abbildung 2.2: Gut komprimierbarer 8x8 Pixelblock
Links: Ausgangsbild, Rechts: Resultierende DCT-Matrix

2.3 Quantisierung

3 Redundanzreduktion

<Text>

3.1 Entropiecodierung

3.2 Inter- und Intraprediction

3.3 Motion Compensation

3 Redundanzreduktion

4 Ausblick

ÄÖÜäöüß

5 Zusammenfassung

ÄÖÜäöüß

Literaturverzeichnis

- [Akr14] Shahriar Akramullah. *Digital Video Concepts, Methods, and Metrics*. Apress, 2014.
- [Dan06] Wilfried Dankmeier. *Grundkurs Codierung Verschlüsselung, Kompression, Fehlerbeseitigung*. Wiesbaden, 3., überarb. und erw. Aufl. edition, 2006.
- [ITUa] ITU-T. H.261: Video codec for audiovisual services at $p \times 64$ kbits.
- [ITUb] ITU-T. Recommendation ITU-r BT.601-5: Studio encoding parameters of digital television for standard 4:3 and wide-screen 16:9 aspect ratios.
- [Moo93] Andrew Moore. The theory of CCITT recommendation h. 261, video codec for audiovisual services at $p \times 64$ kbit/s and review of such a codec. *a*, 16:37, 1993.
- [Poy] Charles Poynton. Chroma subsampling notation.
- [Sym] Peter Symes. *Digital Video Compression*. The McGraw-Hill Companies, Inc.